

LNF-71/93

20 Dicembre 1971

P. Spillantini e V. Valente : ANALISI DELLE MISURE DI SEZIONE  
D'URTO DI FOTOPRODUZIONE SINGOLA. -  
Parte II<sup>a</sup> :  $\pi^0$  DALLA SOGLIA A 500 MeV. -

P. Spillantini e V. Valente : ANALISI DELLE MISURE DI SEZIONE D'URTO DI FOTOPRODUZIONE SINGOLA. - Parte II<sup>a</sup>:  $\pi^0$  DALLA SOGLIA A 500 MeV.

INTRODUZIONE. -

In questa seconda parte<sup>(x)</sup> dell'analisi dei dati di fotoproduzione singola riportiamo i risultati relativi alle sezioni d'urto di  $\pi^0$ . Metodo e procedura sono del tutto analoghi a quelli usati per il  $\pi^+$ , a parte l'ovvia modificazione dell'espressione analitica delle distribuzioni angolari. L'espressione usata per il presente caso è:

$$\frac{d\sigma}{d\Omega} = \sum_{i=0}^N A_i \cos^i \theta^*$$

Per le fonti sperimentali ci siamo anche qui rifatti alla raccolta CERN-HERA 70/1, usando gli stessi criteri che nella Parte I<sup>a</sup> riguardo alla selezione degli esperimenti.

RISULTATI. -

Per tutti i dettagli dell'analisi, nonchè per i criteri statistici adottati, rimandiamo alla Parte I<sup>a</sup>.

Tutti i risultati sono riassunti nelle Tabelle I - VIII.

---

(x) - Parte I<sup>a</sup>: LNF-71/28 (1971).

## BIBLIOGRAFIA HERA. -

- 134 SJNP 6 370 MOSC-67 GP =PI0 P RT 163- 234 14-168 GD1103  
 1341 B.B.GOVORKOV-S.P.DENISOV-E.V.MINARIK=PHOTOPRODUCTION OF NEUTRAL PIONS  
 1342 ON PROTONS NEAR THRESHOLD.  
 1343 INCLUDES DATA FROM THE FOLLOWING=  
 1344 1- JETP 20 809 (1965) =B.B.GOVORKOV-S.P.DENISOV-A.I.LEBEDEV  
 1345 E.V.MINARIK  
 1346 2- JETP 17 983 (1963) =B.B.GOVORKOV-S.P.DENISOV-A.I.LEBEDEV-  
 1347 E.V.MINARIK
- 135 PR 105 1900 ILLI-57 GP =PI0 P E 180- 215 130-137 GD1103  
 1351 L.J.KOESTER-F.E.MILLS=PHOTOPRODUCTION OF PIZERO MESONS IN HYDROGEN
- 139 NC 60 467 BONN-67 GP =PI0 P E 159- 206 49-146 GD1103  
 1391 W.HITZEROTH=PHOTOPRODUCTION OF NEUTRAL PIONS ON PROTONS NEAR  
 1392 THRESHOLD  
 1393 INCLUDES REVISED DATA FROM=  
 1394 PROC. OF HAMBURG CONFERENCE, 2, 209 (1965)
- 231 PR 180 1299 ORSA-68 GP =PI0 P M&C 221- 400 70-175 GD1103  
 2311 R.MORAND-E.F.ERIKSON-J.P.PAHIN-M.G.CROISSIAUX=PHOTOPRODUCTION OF  
 2312 NEUTRAL PIONS FROM HYDROGEN IN THE REGION OF THE FIRST PION-NUCLEON  
 2313 RESONANCE  
 2314 PUBLISHED ALSO IN = ADPH 5 203 (1970)
- 232 PR 117 1364 CORN-60 GP =PI0 P RT 228- 940 27- 75 GD1103  
 2321 K.BERKELMAN-J.A.WAGGONER=PHOTOPRODUCTION OF NEUTRAL PIONS AT FORWARD  
 2322 ANGLES
- 233 PR 107 577 CALT-57 GP =PI0 P E 260- 450 31- 53 GD1103  
 2331 W.S.MCDONALD-V.Z.PETERSON-D.R.CORSON=PHOTOPRODUCTION OF NEUTRAL PIONS  
 2332 FROM HYDROGEN AT FORWARD ANGLES FROM 240 TO 480 MEV
- 234 PR 97 1283 CALT-55 GP =PI0 P M&C 270- 450 70-153 GD1103  
 2341 D.C.OAKLEY-R.L.WALKER=PHOTOPRODUCTION OF NEUTRAL PIONS IN HYDROGEN-  
 2342 MAGNETIC ANALYSIS OF RECOIL PROTONS
- 235 PR 132 1293 CORN-63 GP =PI0 P CT 293- 693 4- 10 GD1103  
 2351 V.L.HIGHLAND-J.W.DEWIRE=PHOTOPRODUCTION OF PIZERO MESONS FROM  
 2352 HYDROGEN NEAR ZERO DEGREES
- 236 PPSL 81 343 GLAS-63 GP =PI0 P CT 209- 300 90- 90 GD1103  
 2361 D.B.MILLER-E.M.BELLAMY=THE PHOTOPRODUCTION OF PIZERO MESONS ON  
 2362 HYDROGEN
- 237 PR 164 1623 ORSA-67 GP =PI0 P M&C 221- 377 180-180 GD1103  
 2371 M.CROISSIAUX-E.P.DALLY-R.MORAND-J.P.PAHIN-W.SCHMIDT=BACKWARD PHOTO  
 2372 PRODUCTION OF PIZERO IN THE REGION OF THE P33 PION-NUCLEON RESONANCE
- 238 NP 168 93 GP =PI0 P 2MT 200- 440 50-160 GD1103  
 2381 G.FISHER-H.FISCHER-G.V.HOLTFY-H.KAMPGEN-G.KNOP-P.SCHULZ-H.WESSELS-  
 2382 M.BRAUNSCHWEIG-H.GENZEL-R.WEDEMAYER=PHOTOPRODUCTION OF NEUTRAL PIONS  
 2383 ON HYDROGEN AT PHOTON ENERGIES BETWEEN 200 AND 440 MEV  
 2384 SEE ALSO VIENNA CONFERENCE (1968)  
 2385 CONTAINS THE "BONN DATA SET" DEDUCED FROM=  
 2386 1- ZEIT 245 225 (1971)  
 2387 2- ZEIT 245 253 (1971)  
 2388 3- ZEIT 245 272 (1971)
- 240 PR 88 1225 CORN-52 GP =PI0 P RT 215- 297 107-112 GD1103  
 2401 A.SILVERMAN-M.STEARNS=PRODUCTION OF PIZERO MESONS BY GAMMA-RAYS ON  
 2402 HYDROGEN

4.

331 PR 159 1124 FRAS-67 GP =PI0 P TSC 394- 835 90-135 GD1103  
3311 C.BACCI-G.PENSO-G.SALVINI-C.MENCUCINI-A.REALE-V.SILVESTRINI-  
3312 M.SPINETTI-B.STELLA=PHOTOPRODUCTION OF NEUTRAL PIONS FOR INCIDENT  
3313 PHOTON ENERGIES 400-800 MEV. SEARCH FOR A RESONANT P11 STATE AND  
3314 REMARKS ON THE ETA CUSP EFFECT  
3315 INCLUDES DATA FROM=  
3316 FRASCATI CONGRESS, 28 (1962) =M.DEUTSCH-C.MENCUCINI-R.QUERZOLI-  
3317 G.SALVINI-V.SILVESTRINI-R.STIENING

333 PR 97 1279 CALT-54 GP =PI0 P RT 300- 450 60-150 GD1102  
3331 R.L.WALKER-D.C.OAKLEY-A.V.TOLLESTRUP=PHOTOPRODUCTION OF NEUTRAL PIONS  
3332 IN HYDROGEN. PROTON-GAMMA COINCIDENCE

431 PR 111 622 CALT-58 GP =PI0 P M&C 479- 954 31-147 GD1103  
4311 J.I.VETTE=PHOTOPRODUCTION OF NEUTRAL PIONS AT ENERGIES 500 TO 940 MEV

534 PR 159 1176 CALT-67 GP =PI0 P TFL 490- 1271 50-136 GD1102  
5341 C.WARD-B.KENTON-C.YORK=PHOTOPRODUCTION OF PIZERO FROM HYDROGEN NEAR  
5342 THE SECOND AND THIRD PION-NUCLEON RESONANCES

ERRATA CORRIGE per la PARTE I (LNF-71/28):

Il riferimento 217, citato nel testo ma non riportato nella bibliografia, è:

NP B16 119 (1970) = G. Fisher-H. Fisher-M. Heuel-G. Von Holtey-G. Knop-J. Stumpling =  
PHOTOPRODUCTION OF POSITIVE PIONS ON HYDROGEN AT  
PHOTON ENERGIES BETWEEN 220 AND 425 MEV.

TABELLA I  
 Probabilità di  $\chi^2$  in funzione del grado del polinomio (N)

$E_\gamma$	N. punti	N. esperimenti	$P(\chi^2)$				Numero punti scartati
			N = 1	N = 2	N = 3	N = 4	
163	6	1	.65	.53	.83	---	0
181	7	2	.58	.93	.96	.95	0
200	5	2	.66	.53	.29	---	0
212	16	5	.00	.46	.38	---	0
220	10	4	.44	.69	.94	.96	2
230	12	3	.72	.94	.91	.90	0
240	15	4	.00	.90	.86	.80	0
250	11	3	.00	.03	.02	.02	0
260	27	5	.00	.01	.05	.05	1
271	29	6	.00	.46	.42	.36	0
280	25	4	.00	.64	.66	.61	0
290	22	2	.00	1.00	.99	1.00	0
300	32	5	.00	.98	.97	.96	0
310	24	4	.00	.97	.99	.99	0
320	32	6	.00	.26	.29	.25	0
330	20	1	.00	1.00	1.00	1.00	0
340	29	5	.00	.37	.59	.61	0
350	23	2	.00	1.00	1.00	1.00	0
360	33	6	.00	.66	.61	.56	0
370	21	2	.00	.94	.98	.97	0
380	23	4	.00	.74	.75	.76	0
390	19	2	.00	.44	.47	.40	0
400	33	6	.00	.83	.90	.88	0
410	19	3	.00	1.00	1.00	1.00	0
420	14	3	.00	.43	.62	.70	0
430	12	2	.00	.95	.91	.85	0
440	15	3	.00	.98	.99	.98	0
450	16	6	.00	.26	.25	.26	0
460	7	3	.21	.90	.81	---	0
482	10	3	.00	.50	.37	.27	0
234	9	3	.01	.94	.88	.87	0
295	8	5	.00	.92	.84	.74	0
396	6	3	.03	.45	.26	.13	0
495	14	3	.00	.04	.03	.04	0

TABELLA II

Coefficients dello sviluppo polinomiale dedotti dal I passo.

N	EG	A0	DA0	A1	DA1	A2	DA2
2	163	.3355	.0268	-.2122	.0205	.0345	.0439
'	181	.9097	.0380	-.3118	.0234	-.2912	.0641
'	200	2.0156	.1490	-.4217	.2777	-.6885	.3058
'	212	2.9597	.1177	-.4684	.1232	-1.2026	.2173
'	220	3.8273	.0932	-1.0966	.2856	-1.7922	.2692
	230	5.0401	.0992	-1.3946	.2343	-2.2776	.3321
	240	6.8789	.0904	-1.8489	.2464	-4.0794	.2947
	250	8.9670	.2804	-2.2218	.4847	-4.9700	.8661
	260	12.4878	.2093	-1.6544	.4769	-7.9526	.5891
	271	15.8656	.1860	-1.6424	.4928	-9.6788	.6236
	280	19.7491	.1478	-2.0346	.4124	-13.0575	.5023
	290	23.4759	.1617	-2.6590	.3835	-16.0202	.5537
	300	26.6538	.2107	-2.2829	.3234	-18.6317	.4837
	310	29.0496	.2315	-.6081	.3212	-18.5821	.5014
	320	30.5731	.3374	-.2182	.5191	-20.7496	.7590
	330	29.9190	.1790	-1.1283	.3802	-20.9312	.5262
	340	28.3922	.3012	.0828	.4013	-20.0555	.6283
	350	26.4757	.1837	-.0724	.2604	-19.1015	.4279
	360	23.8064	.2393	1.3122	.3553	-16.6690	.5393
	370	21.4357	.1923	.8963	.3550	-15.2383	.5467
	380	18.8845	.1957	.9253	.3215	-13.9145	.5309
	390	16.9665	.1224	1.5408	.2176	-12.1586	.4463
	400	14.9838	.1594	1.3279	.2474	-11.2624	.5145
	410	13.3717	.0775	1.2032	.1431	-10.4934	.2990
	420	11.8933	.2412	1.3220	.3652	-8.7249	.7549
	430	10.8241	.1367	1.2080	.2169	-8.1383	.4355
	440	9.7139	.1346	1.0130	.2177	-7.5706	.4787
	450	7.5508	.4064	1.1681	.2846	-5.2572	.7966
	460	7.8262	.4076	1.3614	.2246	-4.8755	.6310
	482	5.5173	.2491	-.0958	.2856	-4.6936	.7690
2	495	5.4783	.2734	.8116	.6145	-3.5019	1.1141

TABELLA III  
Sezione d'urto totale - I passo

EG	STØT	DSTØT
163	4.4	.4
181	10.2	.5
200	22.5	2.3
212	32.2	1.7
220	40.6	1.5
230	43.8	1.9
240	69.4	1.7
250	91.9	5.1
260	123.6	3.6
272	158.8	3.5
280	193.5	2.8
290	227.9	2.0
300	256.9	2.5
310	287.2	2.6
320	297.3	4.0
330	288.3	2.4
340	272.8	2.2
350	257.7	2.5
360	229.3	2.6
370	205.5	2.5
380	179.0	2.0
390	162.3	1.7
400	141.1	2.0
410	124.1	1.6
420	112.9	3.0
430	101.9	1.2
440	90.4	1.8
450	72.9	4.0
460	77.9	4.5
482	49.7	3.5
495	54.2	4.0

TABELLA IV

Coefficienti dello sviluppo polinomiale - valori finali.

Energia	A0	A1	A2	A3
160	0.30000	-0.18500	-0.05000	0.0
170	0.53000	-0.27500	-0.12000	0.0
180	0.85121	-0.33000	-0.23000	0.0
190	1.38750	-0.37500	-0.40000	0.0
200	2.01499	-0.42500	-0.70328	0.0
210	2.79736	-0.48500	-1.09210	0.0
220	3.80965	-0.89596	-1.70053	0.0
230	5.04745	-1.41516	-2.52993	0.0
240	6.70000	-1.79150	-3.80000	0.0
250	9.06975	-2.01271	-5.46603	0.0
260	12.39578	-2.10000	-8.03245	0.0
270	16.06171	-2.16000	-10.75203	0.0
280	19.59370	-2.18688	-13.30643	0.0
290	23.35931	-2.12000	-16.10789	0.0
300	26.49518	-1.82837	-18.14999	0.0
310	29.06424	-1.26000	-18.99557	0.0
320	30.44577	-0.80000	-20.21768	0.0
330	29.92111	-0.41000	-20.28606	0.0
340	28.41953	-0.05231	-19.80952	0.0
350	26.46692	0.34000	-18.81558	0.0
360	23.75635	0.67000	-17.14999	0.0
370	21.45117	0.96694	-15.53637	0.0
380	18.90302	1.23000	-13.76447	0.0
390	16.93433	1.32709	-12.55037	0.0
400	15.00148	1.34933	-11.30458	0.0
410	13.39412	1.30379	-10.27282	0.0
420	11.91944	1.24978	-9.25000	0.0
430	10.82250	1.13651	-8.33840	0.0
440	9.70323	1.03105	-7.47314	0.0
450	8.69099	0.94962	-6.63999	0.0
460	7.78916	0.86000	-5.91732	0.0
470	6.99917	0.80000	-5.27325	-0.00611
480	6.34045	0.78000	-4.74935	-0.15773
490	5.74622	0.78000	-4.27287	-0.32559
500	5.21142	0.78316	-3.76370	-0.48159



TABELLA V - Sezioni d'urto differenziali - risultati finali

THETA	$E_\gamma = 160$		$E_\gamma = 170$		$E_\gamma = 180$		$E_\gamma = 190$		$E_\gamma = 200$		$E_\gamma = 210$	
	COSENO	SIGMA ERR.	SIGMA ERR.	SIGMA ERR.	SIGMA ERR.	SIGMA ERR.	SIGMA ERR.	SIGMA ERR.	SIGMA ERR.	SIGMA ERR.	SIGMA ERR.	SIGMA ERR.
0.0	1.000	0.06 0.04	0.14 0.04	0.29 0.05	0.61 0.12	0.89 0.20	1.22 0.21					
5.00	0.996	0.07 0.04	0.14 0.04	0.29 0.05	0.62 0.12	0.89 0.20	1.23 0.21					
10.00	0.985	0.07 0.04	0.14 0.04	0.30 0.05	0.63 0.12	0.91 0.20	1.26 0.21					
15.00	0.966	0.07 0.04	0.15 0.04	0.32 0.05	0.65 0.12	0.95 0.19	1.31 0.21					
20.00	0.940	0.08 0.04	0.17 0.04	0.34 0.05	0.68 0.12	0.99 0.19	1.38 0.21					
25.00	0.906	0.09 0.04	0.18 0.04	0.36 0.05	0.72 0.11	1.05 0.19	1.46 0.21					
30.00	0.866	0.10 0.04	0.20 0.04	0.39 0.05	0.76 0.11	1.12 0.19	1.56 0.21					
35.00	0.819	0.11 0.04	0.22 0.04	0.43 0.05	0.81 0.11	1.19 0.19	1.67 0.21					
40.00	0.766	0.13 0.04	0.25 0.04	0.46 0.05	0.87 0.11	1.28 0.19	1.78 0.21					
45.00	0.707	0.14 0.04	0.28 0.04	0.50 0.05	0.92 0.11	1.36 0.19	1.91 0.21					
50.00	0.643	0.16 0.04	0.30 0.04	0.54 0.05	0.98 0.11	1.45 0.19	2.03 0.21					
55.00	0.574	0.18 0.04	0.33 0.04	0.59 0.05	1.04 0.11	1.54 0.19	2.16 0.20					
60.00	0.500	0.19 0.04	0.36 0.04	0.63 0.05	1.10 0.11	1.63 0.19	2.28 0.20					
65.00	0.423	0.21 0.04	0.39 0.04	0.67 0.05	1.16 0.11	1.71 0.19	2.40 0.19					
70.00	0.342	0.23 0.04	0.42 0.04	0.71 0.05	1.21 0.12	1.79 0.20	2.50 0.19					
75.00	0.259	0.25 0.04	0.45 0.04	0.75 0.05	1.26 0.13	1.86 0.20	2.60 0.18					
80.00	0.174	0.27 0.04	0.48 0.04	0.79 0.05	1.31 0.13	1.92 0.21	2.68 0.17					
85.00	0.087	0.28 0.04	0.51 0.04	0.82 0.05	1.35 0.13	1.97 0.21	2.75 0.16					
90.00	0.000	0.30 0.04	0.53 0.04	0.85 0.05	1.39 0.12	2.01 0.22	2.80 0.15					
95.00	-0.087	0.32 0.03	0.55 0.03	0.88 0.04	1.42 0.10	2.05 0.17	2.83 0.13					
100.00	-0.174	0.33 0.03	0.57 0.03	0.90 0.04	1.44 0.08	2.07 0.12	2.85 0.11					
105.00	-0.259	0.34 0.03	0.59 0.03	0.92 0.03	1.46 0.06	2.08 0.10	2.85 0.10					
110.00	-0.342	0.36 0.03	0.61 0.03	0.94 0.03	1.47 0.05	2.08 0.08	2.84 0.09					
115.00	-0.423	0.37 0.02	0.62 0.02	0.95 0.03	1.47 0.05	2.07 0.08	2.81 0.09					
120.00	-0.500	0.38 0.02	0.64 0.02	0.96 0.03	1.47 0.05	2.05 0.08	2.77 0.09					
125.00	-0.574	0.39 0.02	0.65 0.02	0.96 0.03	1.47 0.05	2.03 0.08	2.72 0.09					
130.00	-0.643	0.40 0.03	0.66 0.03	0.97 0.03	1.46 0.05	2.00 0.08	2.66 0.10					
135.00	-0.707	0.41 0.03	0.66 0.03	0.97 0.03	1.45 0.05	1.96 0.08	2.59 0.10					
140.00	-0.766	0.41 0.03	0.67 0.03	0.97 0.03	1.44 0.05	1.93 0.08	2.53 0.10					
145.00	-0.819	0.42 0.03	0.67 0.03	0.97 0.03	1.43 0.06	1.89 0.09	2.46 0.10					
150.00	-0.866	0.42 0.04	0.68 0.03	0.96 0.04	1.41 0.07	1.86 0.10	2.40 0.11					
155.00	-0.906	0.43 0.04	0.68 0.03	0.96 0.04	1.40 0.08	1.82 0.11	2.34 0.11					
160.00	-0.940	0.43 0.04	0.68 0.04	0.96 0.05	1.39 0.09	1.79 0.13	2.29 0.12					
165.00	-0.966	0.43 0.04	0.68 0.04	0.96 0.05	1.38 0.10	1.77 0.14	2.25 0.13					
170.00	-0.985	0.43 0.05	0.68 0.05	0.95 0.06	1.37 0.11	1.75 0.16	2.22 0.14					
175.00	-0.996	0.43 0.05	0.68 0.05	0.95 0.06	1.36 0.13	1.74 0.18	2.20 0.14					
180.00	-1.000	0.43 0.05	0.69 0.05	0.95 0.07	1.36 0.14	1.74 0.20	2.19 0.15					

THETA COSENO	$E_{\gamma}=220$		$E_{\gamma}=230$		$E_{\gamma}=240$		$E_{\gamma}=250$		$E_{\gamma}=260$		$E_{\gamma}=270$		
	SIGMA	ERR.	SIGMA	ERR.	SIGMA	ERR.	SIGMA	ERR.	SIGMA	ERR.	SIGMA	ERR.	
0.0	1.000	1.21	0.21	1.10	0.22	1.11	0.29	1.59	0.35	2.26	0.38	3.15	0.40
5.00	0.996	1.23	0.21	1.13	0.22	1.14	0.28	1.64	0.34	2.33	0.38	3.24	0.39
10.00	0.985	1.28	0.21	1.20	0.22	1.25	0.28	1.79	0.34	2.54	0.37	3.51	0.39
15.00	0.966	1.36	0.21	1.32	0.22	1.42	0.27	2.03	0.33	2.87	0.36	3.94	0.38
20.00	0.940	1.47	0.21	1.48	0.22	1.66	0.27	2.35	0.33	3.33	0.36	4.54	0.38
25.00	0.906	1.60	0.21	1.69	0.21	1.96	0.26	2.76	0.32	3.89	0.35	5.27	0.38
30.00	0.866	1.76	0.21	1.92	0.21	2.30	0.26	3.23	0.32	4.55	0.34	6.13	0.37
35.00	0.819	1.93	0.21	2.19	0.21	2.68	0.25	3.75	0.31	5.29	0.33	7.08	0.36
40.00	0.766	2.13	0.21	2.48	0.21	3.10	0.25	4.32	0.30	6.07	0.33	8.10	0.36
45.00	0.707	2.33	0.20	2.78	0.21	3.53	0.24	4.91	0.29	6.89	0.32	9.16	0.34
50.00	0.643	2.53	0.20	3.09	0.21	3.98	0.24	5.52	0.28	7.73	0.31	10.23	0.33
55.00	0.574	2.74	0.20	3.40	0.20	4.42	0.23	6.12	0.27	8.55	0.29	11.29	0.31
60.00	0.500	2.94	0.20	3.71	0.20	4.85	0.22	6.70	0.26	9.34	0.28	12.29	0.30
65.00	0.423	3.13	0.18	4.00	0.18	5.26	0.20	7.24	0.24	10.07	0.26	13.23	0.28
70.00	0.342	3.30	0.16	4.27	0.16	5.64	0.19	7.74	0.23	10.74	0.25	14.07	0.26
75.00	0.259	3.46	0.14	4.51	0.14	5.98	0.17	8.18	0.22	11.31	0.23	14.78	0.24
80.00	0.174	3.60	0.13	4.73	0.13	6.27	0.15	8.56	0.21	11.79	0.21	15.36	0.23
85.00	0.087	3.72	0.12	4.90	0.12	6.51	0.13	8.85	0.18	12.15	0.19	15.79	0.20
90.00	0.000	3.81	0.11	5.05	0.11	6.70	0.12	9.07	0.15	12.40	0.17	16.06	0.18
95.00	-0.087	3.87	0.10	5.15	0.10	6.83	0.11	9.20	0.13	12.52	0.15	16.17	0.16
100.00	-0.174	3.91	0.10	5.22	0.10	6.90	0.11	9.25	0.12	12.52	0.14	16.11	0.15
105.00	-0.259	3.93	0.10	5.24	0.10	6.91	0.10	9.22	0.11	12.40	0.13	15.90	0.14
110.00	-0.342	3.92	0.10	5.24	0.10	6.87	0.10	9.12	0.11	12.17	0.12	15.54	0.13
115.00	-0.423	3.88	0.10	5.19	0.10	6.78	0.10	8.94	0.11	11.85	0.11	15.05	0.13
120.00	-0.500	3.83	0.10	5.12	0.10	6.65	0.10	8.71	0.11	11.44	0.11	14.45	0.12
125.00	-0.574	3.76	0.10	5.03	0.10	6.48	0.10	8.43	0.11	10.96	0.11	13.76	0.12
130.00	-0.643	3.68	0.10	4.91	0.10	6.28	0.10	8.11	0.11	10.43	0.12	13.01	0.12
135.00	-0.707	3.59	0.10	4.78	0.10	6.07	0.10	7.76	0.11	9.86	0.12	12.21	0.13
140.00	-0.766	3.50	0.11	4.65	0.11	5.84	0.11	7.40	0.12	9.29	0.12	11.41	0.13
145.00	-0.819	3.40	0.11	4.51	0.11	5.62	0.11	7.05	0.12	8.73	0.12	10.62	0.13
150.00	-0.866	3.31	0.11	4.38	0.11	5.40	0.11	6.71	0.12	8.19	0.12	9.87	0.13
155.00	-0.906	3.22	0.11	4.25	0.11	5.20	0.11	6.40	0.12	7.70	0.12	9.19	0.13
160.00	-0.940	3.15	0.11	4.14	0.11	5.03	0.11	6.13	0.12	7.28	0.12	8.60	0.13
165.00	-0.966	3.09	0.10	4.05	0.10	4.89	0.10	5.91	0.13	6.93	0.12	8.12	0.13
170.00	-0.985	3.04	0.10	3.99	0.10	4.78	0.10	5.75	0.13	6.67	0.12	7.76	0.13
175.00	-0.996	3.01	0.10	3.95	0.10	4.71	0.10	5.65	0.13	6.52	0.12	7.54	0.13
180.00	-1.000	3.01	0.10	3.93	0.10	4.69	0.10	5.62	0.13	6.46	0.12	7.47	0.13

THETA	$E_{\gamma}=280$		$E_{\gamma}=290$		$E_{\gamma}=300$		$E_{\gamma}=310$		$E_{\gamma}=320$		$E_{\gamma}=330$	
	COSENO	SIGMA ERR.	SIGMA ERR.	SIGMA ERR.	SIGMA ERR.	SIGMA ERR.	SIGMA ERR.	SIGMA ERR.	SIGMA ERR.	SIGMA ERR.	SIGMA ERR.	SIGMA ERR.
0.0	1.000	4.10 0.40	5.13 0.40	6.52 0.40	8.81 0.40	9.43 0.39	9.23 0.39					
5.00	0.996	4.21 0.39	5.26 0.39	6.66 0.39	8.96 0.39	9.58 0.38	9.38 0.38					
10.00	0.985	4.53 0.39	5.65 0.39	7.09 0.39	9.40 0.39	10.05 0.38	9.84 0.37					
15.00	0.966	5.07 0.38	6.28 0.38	7.79 0.38	10.12 0.38	10.81 0.37	10.60 0.36					
20.00	0.940	5.79 0.38	7.14 0.38	8.75 0.37	11.11 0.37	11.84 0.36	11.62 0.35					
25.00	0.906	6.68 0.38	8.21 0.38	9.93 0.36	12.32 0.36	13.11 0.35	12.89 0.34					
30.00	0.866	7.72 0.37	9.44 0.37	11.30 0.36	13.73 0.36	14.59 0.35	14.35 0.34					
35.00	0.819	8.87 0.36	10.81 0.36	12.82 0.35	15.29 0.35	16.22 0.34	15.97 0.33					
40.00	0.766	10.11 0.36	12.28 0.35	14.44 0.34	16.95 0.34	17.97 0.33	17.70 0.33					
45.00	0.707	11.39 0.34	13.81 0.33	16.13 0.33	18.68 0.33	19.77 0.31	19.49 0.31					
50.00	0.643	12.69 0.33	15.34 0.32	17.82 0.32	20.41 0.32	21.58 0.30	21.28 0.30					
55.00	0.574	13.96 0.31	16.84 0.30	19.48 0.30	22.09 0.30	23.34 0.27	23.01 0.27					
60.00	0.500	15.17 0.30	18.27 0.28	21.04 0.28	23.69 0.28	24.99 0.25	24.64 0.25					
65.00	0.423	16.29 0.28	19.59 0.26	22.48 0.26	25.14 0.26	26.50 0.24	26.12 0.24					
70.00	0.342	17.29 0.26	20.75 0.25	23.75 0.25	26.41 0.25	27.81 0.23	27.41 0.23					
75.00	0.259	18.14 0.24	21.73 0.38	24.81 0.38	27.47 0.38	28.88 0.21	28.46 0.21					
80.00	0.174	18.81 0.23	22.51 0.50	25.63 0.50	28.27 0.50	29.70 0.20	29.24 0.20					
85.00	0.087	19.30 0.20	23.05 0.33	26.20 0.33	28.81 0.33	30.22 0.18	29.73 0.18					
90.00	0.000	19.59 0.18	23.36 0.16	26.50 0.16	29.06 0.16	30.45 0.16	29.92 0.16					
95.00	-0.087	19.68 0.16	23.42 0.15	26.52 0.15	29.03 0.15	30.36 0.15	29.80 0.15					
100.00	-0.174	19.57 0.15	23.24 0.15	26.27 0.15	28.71 0.15	29.98 0.15	29.38 0.15					
105.00	-0.259	19.27 0.14	22.83 0.14	25.75 0.14	28.12 0.14	29.30 0.14	28.67 0.14					
110.00	-0.342	18.79 0.13	22.20 0.14	25.00 0.14	27.27 0.14	28.35 0.14	27.69 0.14					
115.00	-0.423	18.14 0.13	21.38 0.13	24.03 0.13	26.20 0.13	27.17 0.13	26.47 0.13					
120.00	-0.500	17.36 0.12	20.39 0.13	22.87 0.13	24.95 0.13	25.79 0.13	25.05 0.13					
125.00	-0.574	16.47 0.12	19.28 0.13	21.57 0.13	23.54 0.13	24.25 0.13	23.48 0.13					
130.00	-0.643	15.50 0.12	18.07 0.13	20.17 0.13	22.03 0.13	22.61 0.13	21.80 0.13					
135.00	-0.707	14.49 0.13	16.80 0.13	18.71 0.13	20.46 0.13	20.90 0.13	20.07 0.13					
140.00	-0.766	13.46 0.13	15.53 0.13	17.24 0.13	18.88 0.13	19.19 0.13	18.33 0.13					
145.00	-0.819	12.46 0.13	14.29 0.13	15.81 0.13	17.35 0.13	17.53 0.13	16.64 0.13					
150.00	-0.866	11.51 0.13	13.11 0.13	14.47 0.13	15.91 0.13	15.98 0.13	15.06 0.13					
155.00	-0.906	10.65 0.13	12.05 0.13	13.24 0.13	14.60 0.13	14.56 0.13	13.63 0.13					
160.00	-0.940	9.90 0.13	11.13 0.13	12.19 0.13	13.47 0.13	13.34 0.14	12.39 0.14					
165.00	-0.966	9.29 0.13	10.38 0.13	11.33 0.13	12.56 0.13	12.36 0.14	11.39 0.14					
170.00	-0.985	8.84 0.13	9.82 0.13	10.69 0.13	11.88 0.13	11.63 0.15	10.65 0.15					
175.00	-0.996	8.57 0.13	9.49 0.13	10.30 0.13	11.47 0.13	11.18 0.15	10.20 0.15					
180.00	-1.000	8.47 0.13	9.37 0.14	10.17 0.14	11.33 0.14	11.03 0.15	10.05 0.15					

THETA	$E_\gamma = 340$		$E_\gamma = 350$		$E_\gamma = 360$		$E_\gamma = 370$		$E_\gamma = 380$		$E_\gamma = 390$	
	COSENO	SIGMA ERR.	SIGMA ERR.	SIGMA ERR.	SIGMA ERR.	SIGMA ERR.	SIGMA ERR.	SIGMA ERR.	SIGMA ERR.	SIGMA ERR.	SIGMA ERR.	SIGMA ERR.
0.0	1.000	8.56 0.36	7.99 0.33	7.28 0.33	6.88 0.29	6.37 0.28	5.71 0.27					
5.00	0.996	8.71 0.35	8.13 0.32	7.40 0.32	7.00 0.29	6.47 0.28	5.80 0.26					
10.00	0.985	9.16 0.35	8.55 0.32	7.78 0.32	7.34 0.29	6.76 0.28	6.07 0.26					
15.00	0.966	9.89 0.34	9.24 0.31	8.40 0.31	7.89 0.28	7.25 0.27	6.51 0.25					
20.00	0.940	10.88 0.33	10.17 0.31	9.24 0.31	8.64 0.28	7.90 0.27	7.10 0.25					
25.00	0.906	12.10 0.32	11.32 0.30	10.28 0.30	9.57 0.27	8.71 0.26	7.83 0.24					
30.00	0.866	13.52 0.32	12.65 0.30	11.47 0.30	10.64 0.27	9.64 0.26	8.67 0.24					
35.00	0.819	15.08 0.31	14.12 0.29	12.80 0.29	11.82 0.26	10.67 0.25	9.60 0.23					
40.00	0.766	16.75 0.30	15.69 0.29	14.21 0.29	13.07 0.26	11.77 0.25	10.59 0.23					
45.00	0.707	18.48 0.29	17.30 0.28	15.66 0.28	14.37 0.24	12.89 0.24	11.60 0.22					
50.00	0.643	20.20 0.28	18.91 0.27	17.10 0.27	15.65 0.23	14.01 0.23	12.60 0.21					
55.00	0.574	21.87 0.26	20.47 0.25	18.50 0.25	16.89 0.22	15.08 0.21	13.57 0.19					
60.00	0.500	23.44 0.25	21.93 0.23	19.80 0.23	18.05 0.21	16.08 0.20	14.46 0.18					
65.00	0.423	24.86 0.23	23.25 0.21	20.98 0.21	19.08 0.20	16.96 0.19	15.25 0.17					
70.00	0.342	26.08 0.22	24.38 0.20	21.98 0.20	19.96 0.19	17.71 0.18	15.92 0.16					
75.00	0.259	27.08 0.20	25.29 0.18	22.78 0.18	20.66 0.17	18.30 0.16	16.44 0.15					
80.00	0.174	27.81 0.18	25.96 0.17	23.36 0.17	21.15 0.16	18.70 0.15	16.79 0.14					
85.00	0.087	28.26 0.17	26.35 0.16	23.68 0.16	21.42 0.15	18.91 0.14	16.95 0.30					
90.00	0.000	28.42 0.16	26.47 0.15	23.76 0.15	21.45 0.14	18.90 0.13	16.93 0.46					
95.00	-0.087	28.27 0.14	26.29 0.13	23.57 0.13	21.25 0.13	18.69 0.12	16.72 0.28					
100.00	-0.174	27.83 0.13	25.84 0.12	23.12 0.12	20.81 0.12	18.27 0.11	16.33 0.11					
105.00	-0.259	27.11 0.13	25.12 0.11	22.43 0.11	20.16 0.11	17.66 0.11	15.75 0.10					
110.00	-0.342	26.12 0.12	24.15 0.11	21.52 0.11	19.30 0.11	16.87 0.11	15.01 0.10					
115.00	-0.423	24.90 0.12	22.96 0.11	20.41 0.11	18.27 0.10	15.92 0.10	14.13 0.09					
120.00	-0.500	23.49 0.12	21.59 0.11	19.13 0.11	17.08 0.10	14.85 0.10	13.13 0.09					
125.00	-0.574	21.93 0.12	20.08 0.11	17.73 0.11	15.79 0.10	13.67 0.10	12.04 0.09					
130.00	-0.643	20.27 0.12	18.47 0.11	16.24 0.11	14.41 0.10	12.43 0.10	10.90 0.09					
135.00	-0.707	18.55 0.12	16.82 0.11	14.71 0.11	13.00 0.10	11.15 0.10	9.72 0.09					
140.00	-0.766	16.83 0.12	15.17 0.11	13.18 0.11	11.59 0.10	9.88 0.10	8.55 0.10					
145.00	-0.819	15.17 0.13	13.56 0.12	11.70 0.12	10.23 0.11	8.66 0.11	7.43 0.11					
150.00	-0.866	13.61 0.13	12.06 0.13	10.31 0.13	8.96 0.12	7.51 0.12	6.37 0.12					
155.00	-0.906	12.20 0.14	10.70 0.14	9.06 0.14	7.81 0.13	6.48 0.13	5.42 0.13					
160.00	-0.940	10.98 0.15	9.53 0.15	7.98 0.15	6.82 0.15	5.59 0.15	4.61 0.13					
165.00	-0.966	9.99 0.16	8.58 0.16	7.11 0.16	6.02 0.16	4.87 0.16	3.94 0.14					
170.00	-0.985	9.26 0.17	7.88 0.17	6.46 0.17	5.43 0.17	4.34 0.17	3.46 0.15					
175.00	-0.996	8.81 0.18	7.46 0.18	6.07 0.18	5.07 0.18	4.02 0.18	3.16 0.16					
180.00	-1.000	8.66 0.20	7.31 0.20	5.94 0.20	4.95 0.20	3.91 0.20	3.06 0.17					

THETA	COSENO	$E_{\gamma}=400$	$E_{\gamma}=410$	$E_{\gamma}=420$	$E_{\gamma}=430$	$E_{\gamma}=440$	$E_{\gamma}=450$
		SIGMA ERR.	SIGMA ERR.	SIGMA ERR.	SIGMA ERR.	SIGMA ERR.	SIGMA ERR.
0.0	1.000	5.05 0.26	4.43 0.26	3.92 0.27	3.62 0.27	3.26 0.28	3.00 0.29
5.00	0.996	5.13 0.25	4.50 0.25	3.98 0.26	3.68 0.27	3.31 0.28	3.05 0.29
10.00	0.985	5.37 0.25	4.72 0.25	4.18 0.26	3.85 0.27	3.47 0.28	3.19 0.29
15.00	0.966	5.76 0.24	5.07 0.24	4.50 0.25	4.14 0.26	3.73 0.27	3.41 0.28
20.00	0.940	6.29 0.24	5.55 0.24	4.93 0.25	4.53 0.26	4.07 0.27	3.72 0.28
25.00	0.906	6.94 0.23	6.14 0.23	5.45 0.24	5.00 0.25	4.50 0.27	4.10 0.27
30.00	0.866	7.69 0.23	6.82 0.23	6.06 0.24	5.55 0.25	4.99 0.27	4.53 0.27
35.00	0.819	8.52 0.22	7.57 0.22	6.74 0.23	6.16 0.24	5.53 0.26	5.01 0.27
40.00	0.766	9.40 0.22	8.36 0.22	7.45 0.23	6.80 0.24	6.11 0.25	5.52 0.27
45.00	0.707	10.30 0.21	9.18 0.20	8.18 0.21	7.46 0.23	6.70 0.24	6.04 0.26
50.00	0.643	11.20 0.20	9.99 0.19	8.90 0.20	8.11 0.22	7.28 0.24	6.56 0.26
55.00	0.574	12.06 0.19	10.76 0.17	9.59 0.18	8.73 0.20	7.84 0.23	7.05 0.25
60.00	0.500	12.85 0.18	11.48 0.16	10.23 0.17	9.31 0.18	8.35 0.22	7.51 0.25
65.00	0.423	13.55 0.16	12.11 0.14	10.80 0.16	9.81 0.17	8.80 0.20	7.91 0.24
70.00	0.342	14.14 0.15	12.64 0.13	11.26 0.15	10.24 0.16	9.18 0.18	8.24 0.24
75.00	0.259	14.59 0.14	13.04 0.13	11.62 0.14	10.56 0.15	9.47 0.17	8.49 0.23
80.00	0.174	14.89 0.13	13.31 0.12	11.86 0.13	10.77 0.14	9.66 0.16	8.66 0.22
85.00	0.087	15.03 0.13	13.43 0.11	11.96 0.12	10.86 0.13	9.74 0.15	8.72 0.21
90.00	0.000	15.00 0.12	13.39 0.11	11.92 0.11	10.82 0.12	9.70 0.14	8.69 0.20
95.00	-0.087	14.80 0.11	13.20 0.10	11.74 0.10	10.66 0.11	9.56 0.13	8.56 0.18
100.00	-0.174	14.43 0.10	12.86 0.10	11.42 0.10	10.37 0.10	9.30 0.12	8.33 0.16
105.00	-0.259	13.89 0.09	12.37 0.09	10.98 0.09	9.97 0.10	8.94 0.11	8.00 0.15
110.00	-0.342	13.22 0.09	11.75 0.09	10.41 0.09	9.46 0.10	8.48 0.11	7.59 0.14
115.00	-0.423	12.41 0.08	11.01 0.08	9.74 0.08	8.85 0.09	7.93 0.10	7.10 0.14
120.00	-0.500	11.50 0.08	10.17 0.08	8.98 0.08	8.17 0.09	7.32 0.10	6.56 0.14
125.00	-0.574	10.51 0.08	9.27 0.08	8.16 0.08	7.43 0.09	6.65 0.10	5.96 0.14
130.00	-0.643	9.46 0.09	8.31 0.09	7.29 0.09	6.65 0.10	5.95 0.11	5.34 0.14
135.00	-0.707	8.40 0.10	7.34 0.09	6.41 0.09	5.85 0.10	5.24 0.12	4.70 0.14
140.00	-0.766	7.33 0.10	6.37 0.10	5.53 0.10	5.06 0.11	4.53 0.13	4.07 0.15
145.00	-0.819	6.31 0.11	5.43 0.11	4.69 0.11	4.30 0.12	3.84 0.14	3.46 0.16
150.00	-0.866	5.35 0.12	4.56 0.12	3.90 0.13	3.58 0.13	3.21 0.15	2.89 0.18
155.00	-0.906	4.49 0.13	3.77 0.13	3.19 0.14	2.94 0.14	2.63 0.16	2.38 0.20
160.00	-0.940	3.75 0.14	3.10 0.15	2.58 0.15	2.39 0.16	2.14 0.17	1.94 0.22
165.00	-0.966	3.15 0.15	2.55 0.16	2.08 0.16	1.94 0.17	1.73 0.19	1.58 0.24
170.00	-0.985	2.71 0.16	2.15 0.17	1.72 0.17	1.62 0.18	1.44 0.21	1.32 0.26
175.00	-0.996	2.44 0.17	1.90 0.18	1.49 0.18	1.42 0.20	1.26 0.23	1.16 0.28
180.00	-1.000	2.35 0.19	1.82 0.20	1.42 0.20	1.35 0.22	1.20 0.25	1.10 0.3

THETA	$E_\gamma=460$		$E_\gamma=470$		$E_\gamma=480$		$E_\gamma=490$		$E_\gamma=500$		
	COSENO	SIGMA ERR.	SIGMA ERR.	SIGMA ERR.	SIGMA ERR.	SIGMA ERR.	SIGMA ERR.	SIGMA ERR.	SIGMA ERR.	SIGMA ERR.	
0.0	1.000	2.73	0.30	2.52	0.35	2.21	0.55	1.93	0.90	1.75	0.95
5.00	0.996	2.77	0.30	2.56	0.34	2.25	0.53	1.96	0.89	1.78	0.94
10.00	0.985	2.90	0.30	2.67	0.34	2.35	0.52	2.06	0.88	1.87	0.94
15.00	0.966	3.10	0.30	2.85	0.33	2.52	0.51	2.22	0.85	2.02	0.93
20.00	0.940	3.37	0.30	3.09	0.33	2.75	0.50	2.44	0.82	2.22	0.92
25.00	0.906	3.71	0.29	3.39	0.32	3.03	0.48	2.70	0.80	2.47	0.90
30.00	0.866	4.10	0.29	3.73	0.32	3.35	0.46	3.01	0.78	2.75	0.89
35.00	0.819	4.52	0.29	4.11	0.32	3.71	0.44	3.34	0.74	3.06	0.87
40.00	0.766	4.98	0.29	4.51	0.32	4.08	0.42	3.69	0.70	3.39	0.85
45.00	0.707	5.44	0.28	4.93	0.32	4.46	0.41	4.05	0.66	3.71	0.82
50.00	0.643	5.90	0.28	5.33	0.32	4.84	0.40	4.40	0.62	4.03	0.80
55.00	0.574	6.34	0.27	5.72	0.31	5.20	0.39	4.73	0.56	4.33	0.75
60.00	0.500	6.74	0.27	6.08	0.31	5.52	0.38	5.03	0.50	4.60	0.71
65.00	0.423	7.10	0.27	6.39	0.30	5.81	0.36	5.29	0.46	4.83	0.64
70.00	0.342	7.39	0.27	6.66	0.30	6.05	0.34	5.50	0.42	5.02	0.58
75.00	0.259	7.62	0.26	6.85	0.29	6.22	0.32	5.66	0.40	5.15	0.52
80.00	0.174	7.76	0.26	6.99	0.29	6.33	0.31	5.75	0.38	5.23	0.47
85.00	0.087	7.82	0.25	7.03	0.28	6.37	0.30	5.78	0.36	5.25	0.43
90.00	0.000	7.79	0.25	7.00	0.27	6.34	0.29	5.75	0.34	5.21	0.40
95.00	-0.087	7.67	0.24	6.89	0.26	6.24	0.28	5.65	0.32	5.11	0.38
100.00	-0.174	7.46	0.23	6.70	0.25	6.06	0.28	5.48	0.30	4.96	0.35
105.00	-0.259	7.17	0.21	6.44	0.24	5.82	0.27	5.26	0.29	4.76	0.33
110.00	-0.342	6.80	0.20	6.11	0.23	5.52	0.26	4.99	0.29	4.52	0.31
115.00	-0.423	6.37	0.19	5.72	0.23	5.17	0.26	4.68	0.28	4.24	0.30
120.00	-0.500	5.88	0.18	5.28	0.23	4.78	0.26	4.33	0.28	3.94	0.30
125.00	-0.574	5.35	0.18	4.81	0.23	4.36	0.26	3.95	0.28	3.61	0.30
130.00	-0.643	4.79	0.18	4.31	0.23	3.92	0.26	3.57	0.28	3.28	0.30
135.00	-0.707	4.22	0.18	3.80	0.23	3.47	0.26	3.17	0.28	2.95	0.30
140.00	-0.766	3.66	0.19	3.29	0.23	3.03	0.26	2.79	0.28	2.62	0.30
145.00	-0.819	3.11	0.21	2.81	0.24	2.60	0.28	2.42	0.31	2.31	0.34
150.00	-0.866	2.61	0.23	2.36	0.26	2.21	0.31	2.08	0.35	2.02	0.38
155.00	-0.906	2.15	0.26	1.95	0.30	1.85	0.35	1.77	0.40	1.77	0.43
160.00	-0.940	1.76	0.30	1.60	0.35	1.54	0.40	1.51	0.45	1.55	0.48
165.00	-0.966	1.44	0.32	1.31	0.38	1.30	0.45	1.30	0.50	1.38	0.53
170.00	-0.985	1.20	0.35	1.10	0.42	1.12	0.50	1.15	0.55	1.25	0.58
175.00	-0.996	1.06	0.38	0.98	0.46	1.01	0.54	1.05	0.59	1.17	0.61
180.00	-1.000	1.01	0.41	0.93	0.51	0.97	0.58	1.02	0.63	1.15	0.65

TABELLA VI

Sezioni d'urto totale -risultati finali.

Energia	STØT	Energia	STØT
160	3.55	330	291.0
170	6.15	340	274.2
180	9.67	350	253.8
190	15.71	360	226.5
200	23.55	370	204.5
210	30.58	380	179.9
220	40.75	390	160.2
230	52.83	400	141.2
240	68.20	410	125.3
250	91.08	420	110.9
260	122.1	430	101.1
270	156.8	440	90.63
280	190.5	450	81.40
290	226.1	460	73.09
300	256.5	470	65.87
310	285.7	480	59.78
320	297.9	490	54.31
		500	49.72

TABELLA VII

Probabilità di  $\chi^2$  delle sezioni d'urto di tabella V  
rispetto ai dati sperimentali.

$E_\gamma$	$P(\chi^2)$	N. punti scartati
160	.16	0
170	.27	0
180	.72	0
190	.77	0
200	.99	0
210	.98	0
220	.99	0
230	.98	0
240	.91	0
250	.68	0
260	.79	0
270	.22	0
280	.90	0
290	.05	0
300	.48	0
310	.98	0
320	.95	0
330	.29	0
340	.63	0
350	.74	0
360	.58	0
370	.96	0
380	1.00	0
390	.96	0
400	1.00	0
410	.86	0
420	.94	0
430	.95	0
440	.99	0
450	.99	0
460	1.00	0
470	1.00	0
480	1.00	0
490	1.00	0
500	.99	0



TABELLA VIII

Probabilità di  $\chi^2$  dei singoli esperimenti rispetto al fit.

Riferimento	Numero punti	$\chi^2$	$P(\chi^2)$	Punti scartati
134	26	14.65	.93	2
135	5	2.00	.74	1
139	23	23.01	.35	2
231	34	67.59	.00	0
232	27	44.85	.01	4
233	10	21.15	.01	1
234	26	44.10	.02	0
235	6	7.44	.12	2
236	22	49.62	.00	2
237	9	14.17	.03	3
238	383	151.67	1.00	0
240	4	5.73	.22	0
331	40	20.75	.99	0
333	16	7.11	.96	1
431	8	9.55	.22	1
534	2	7.98	.02	0

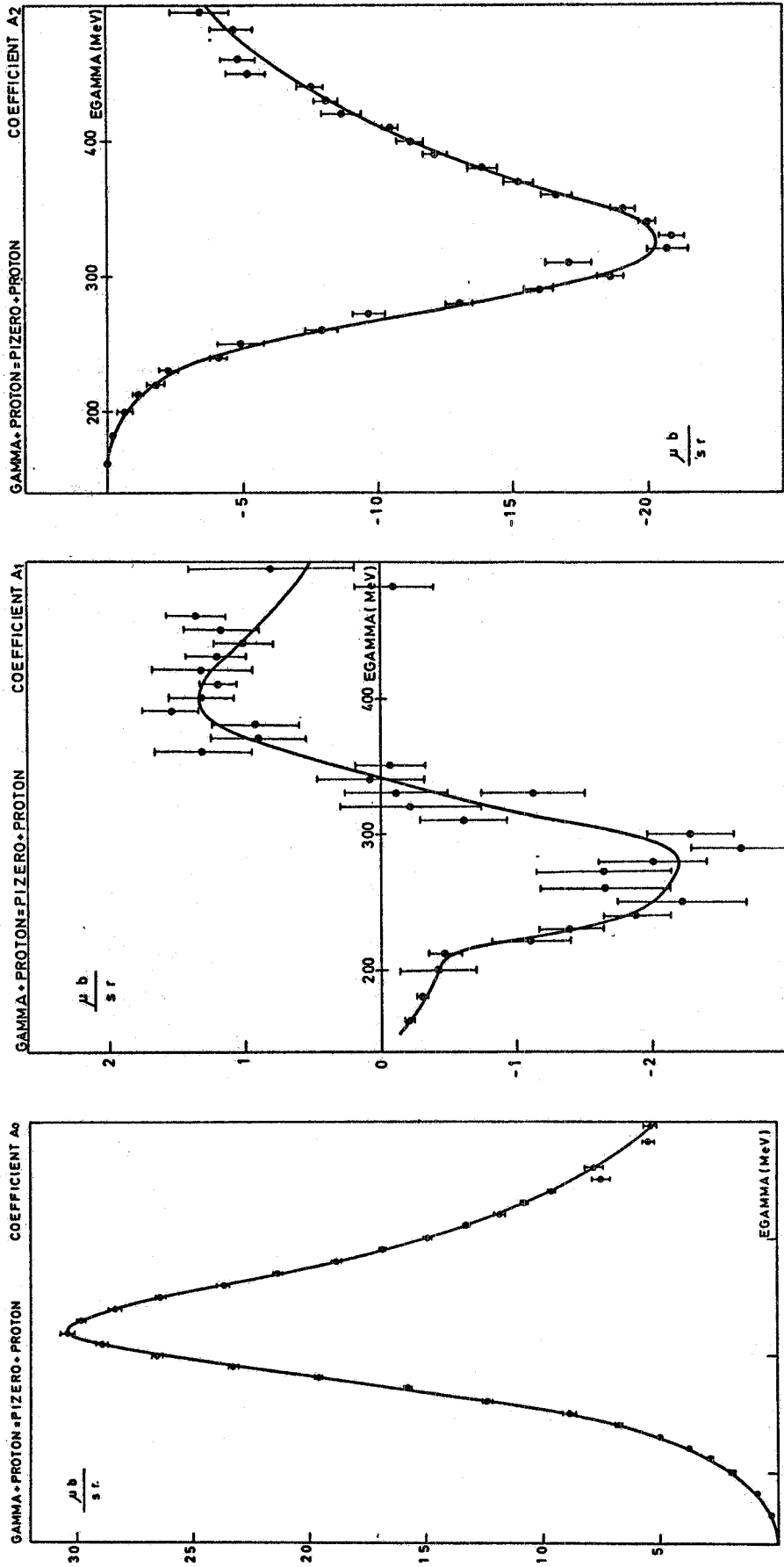


FIG. 1 - Coefficienti del fit polinomiale. I punti sono i valori di tabella II (I passo), la curva continua i valori finali (tabella IV).

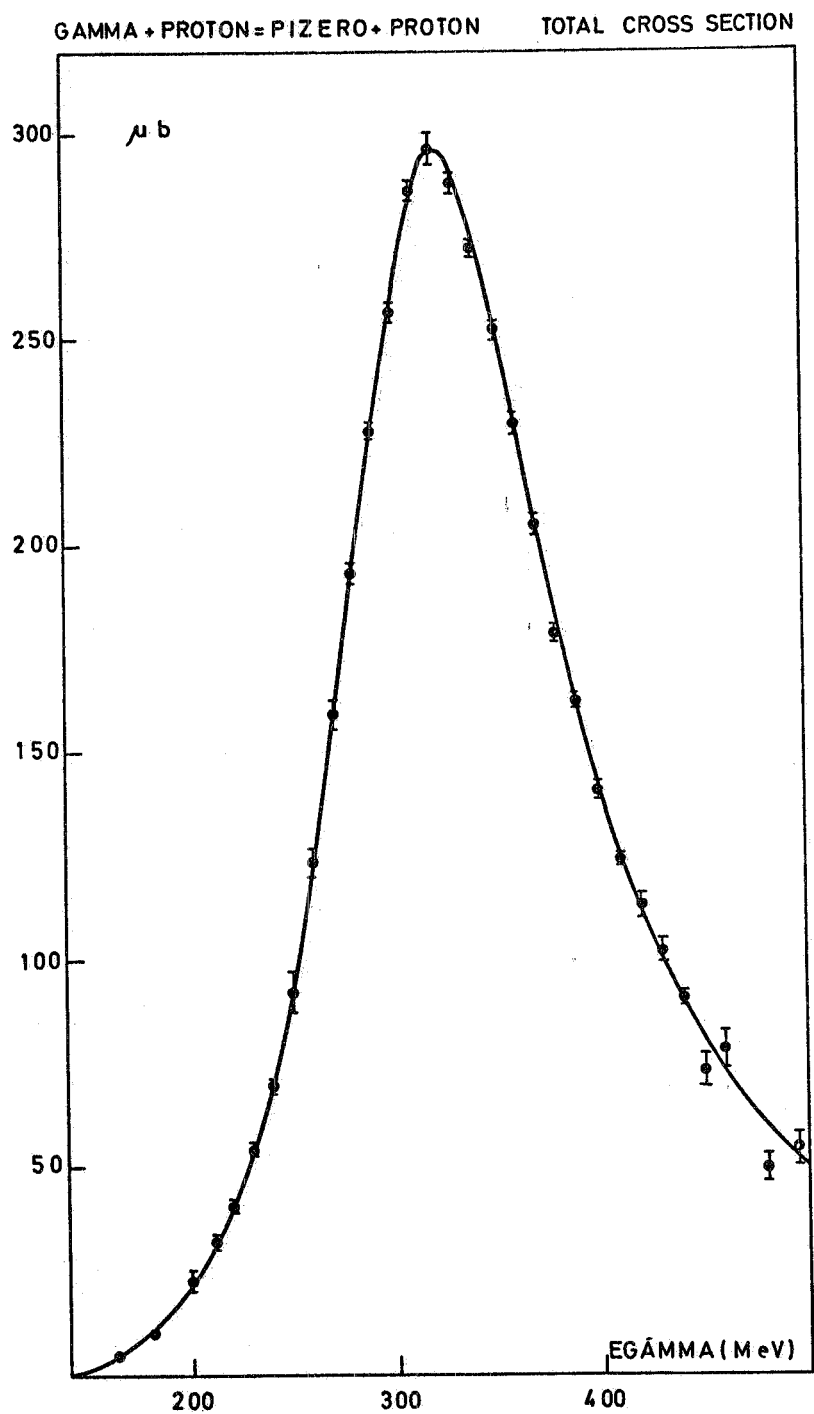


FIG. 2 - Sezione d'urto totale. I punti sono i valori di tabella III (I passo), la curva continua i valori finali (tabella VI).

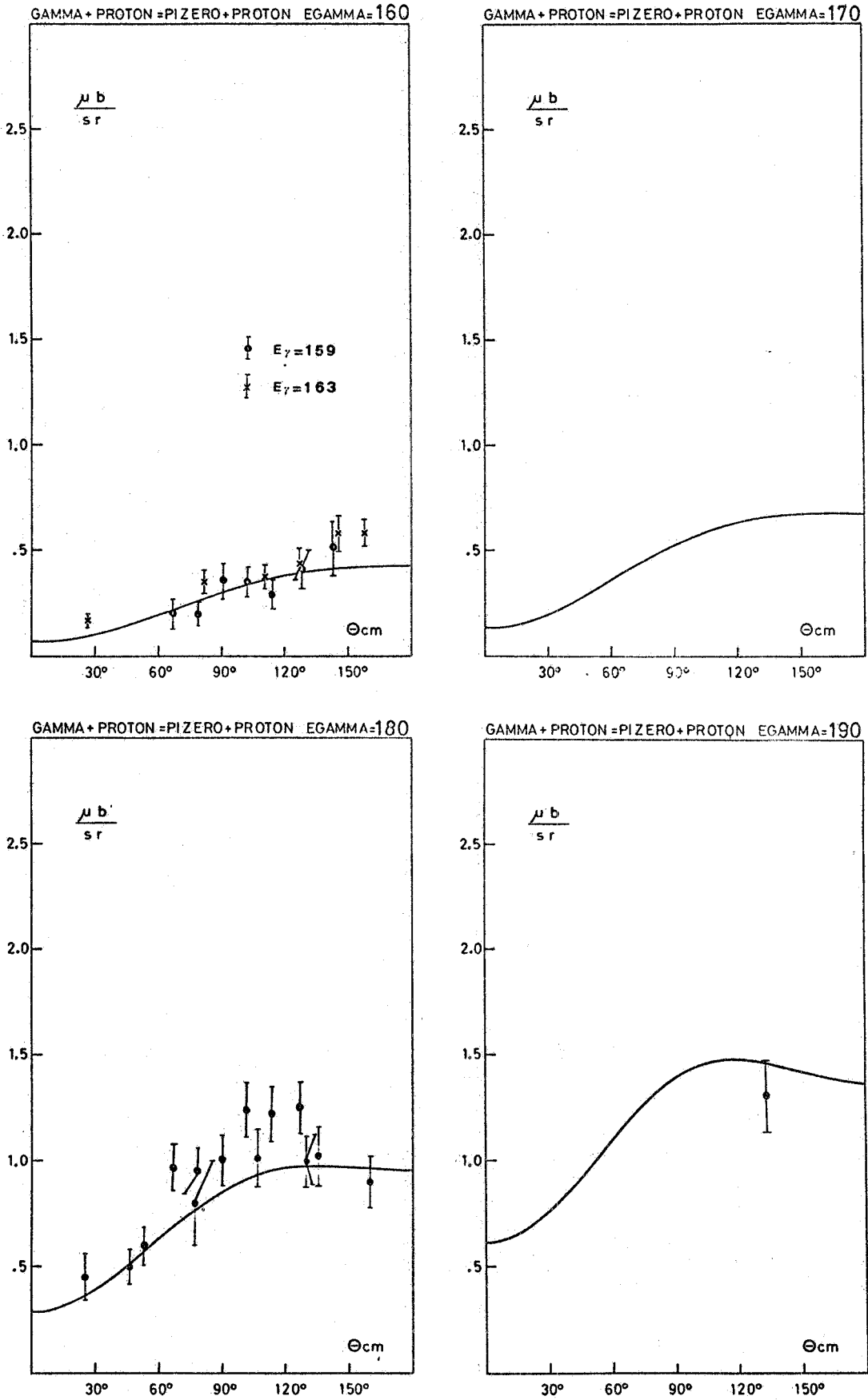


FIG. 3

./.

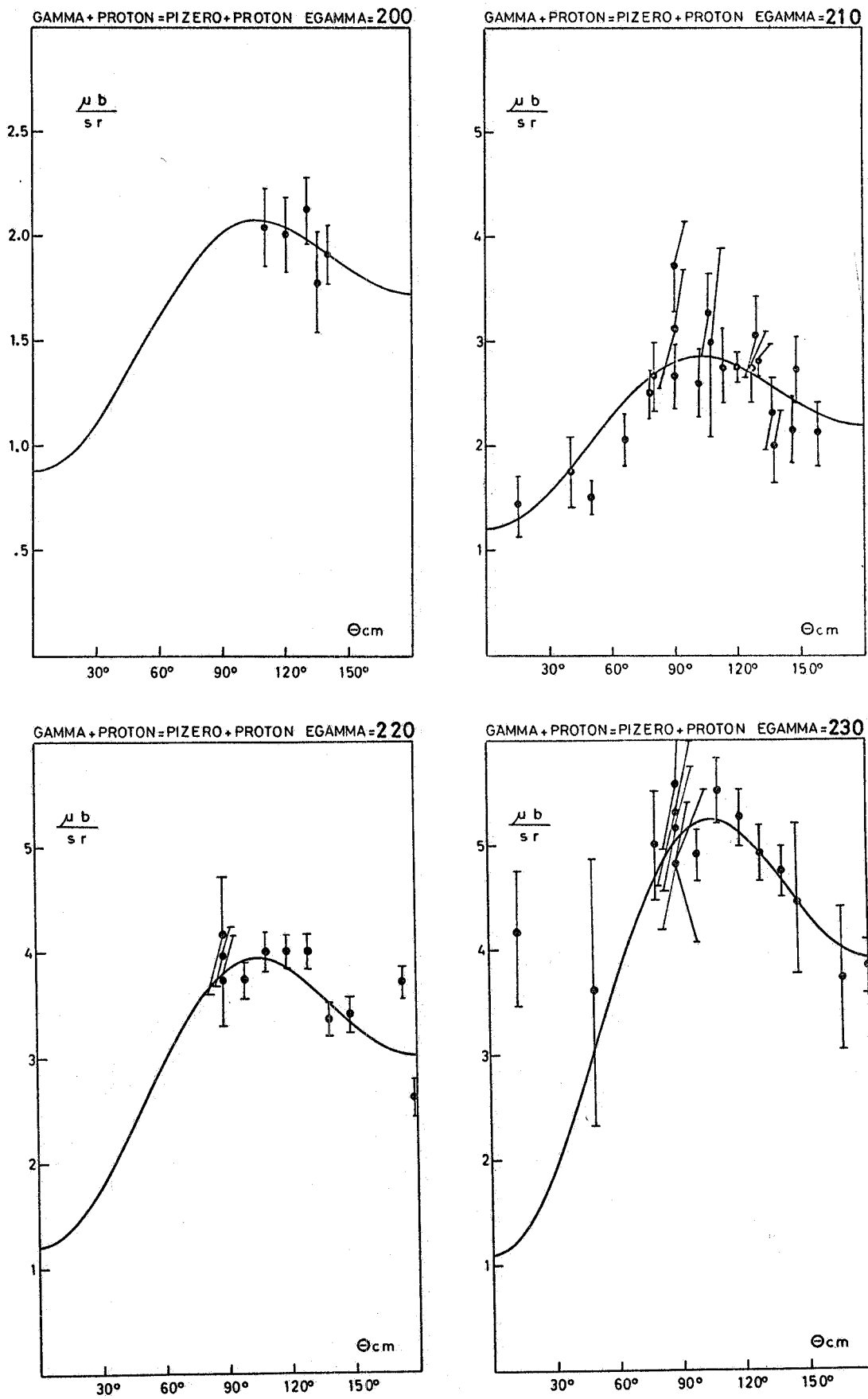
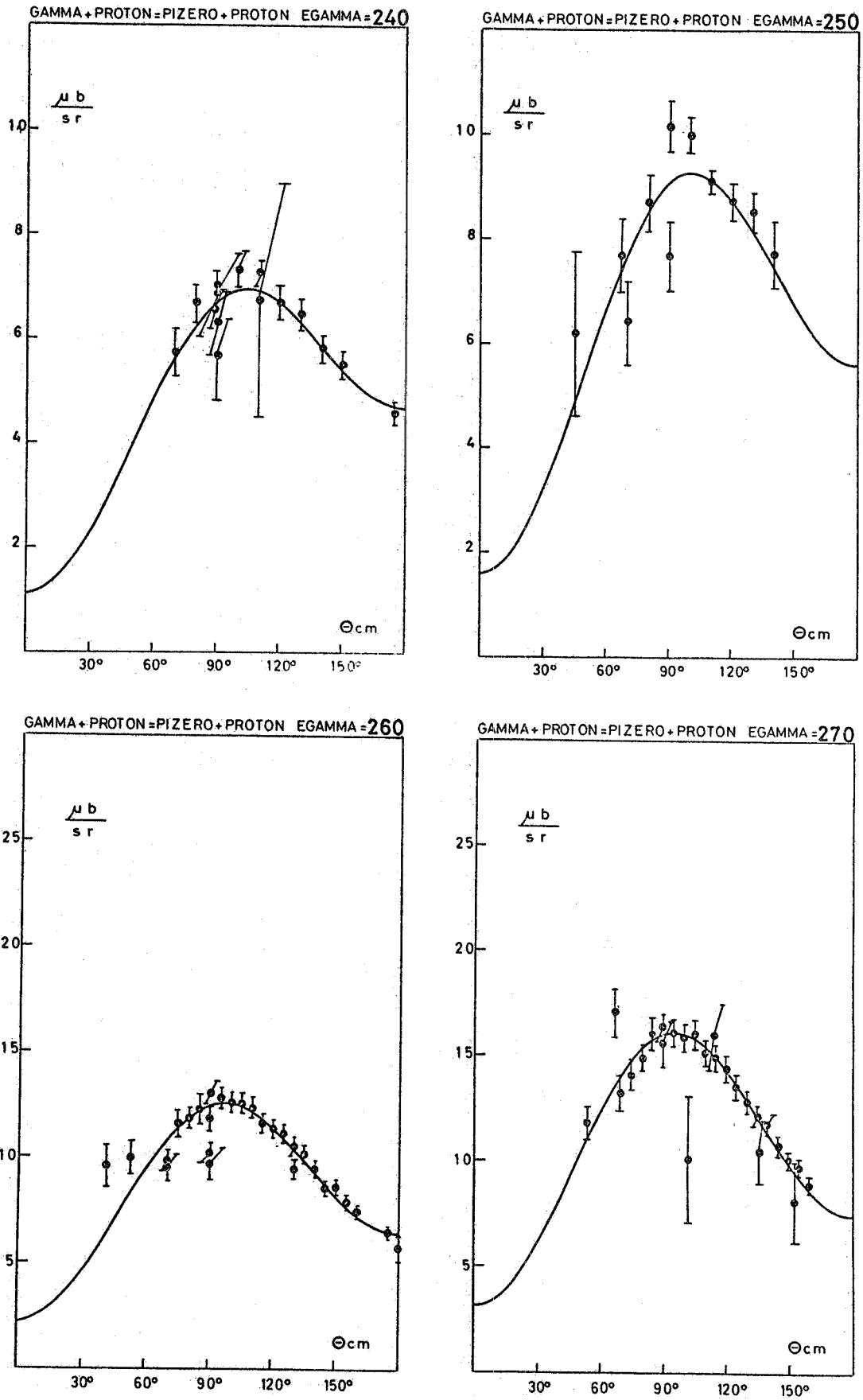


FIG. 3

/.



.FIG. 3

./.

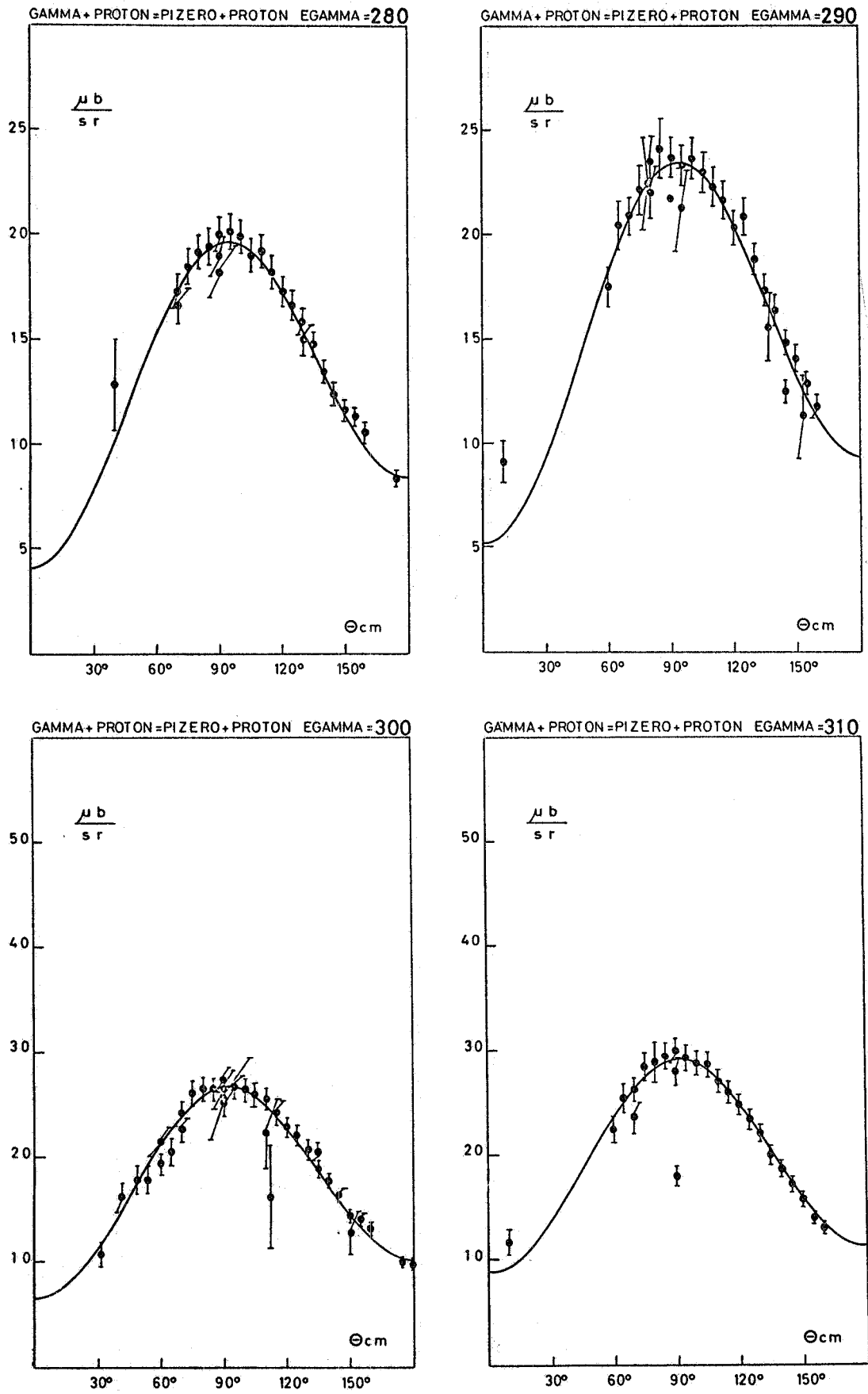


FIG. 3

./.

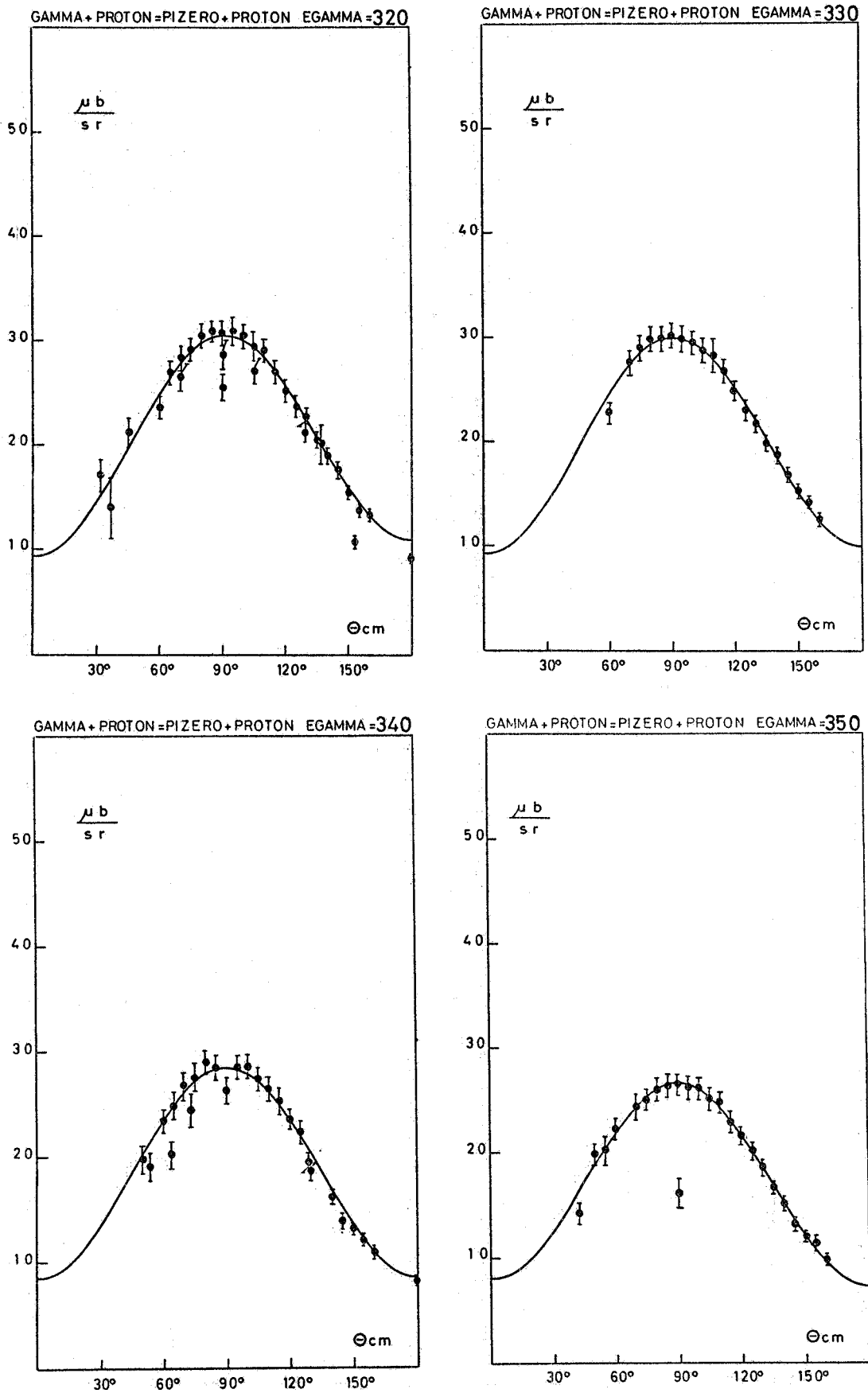


FIG. 3

./.



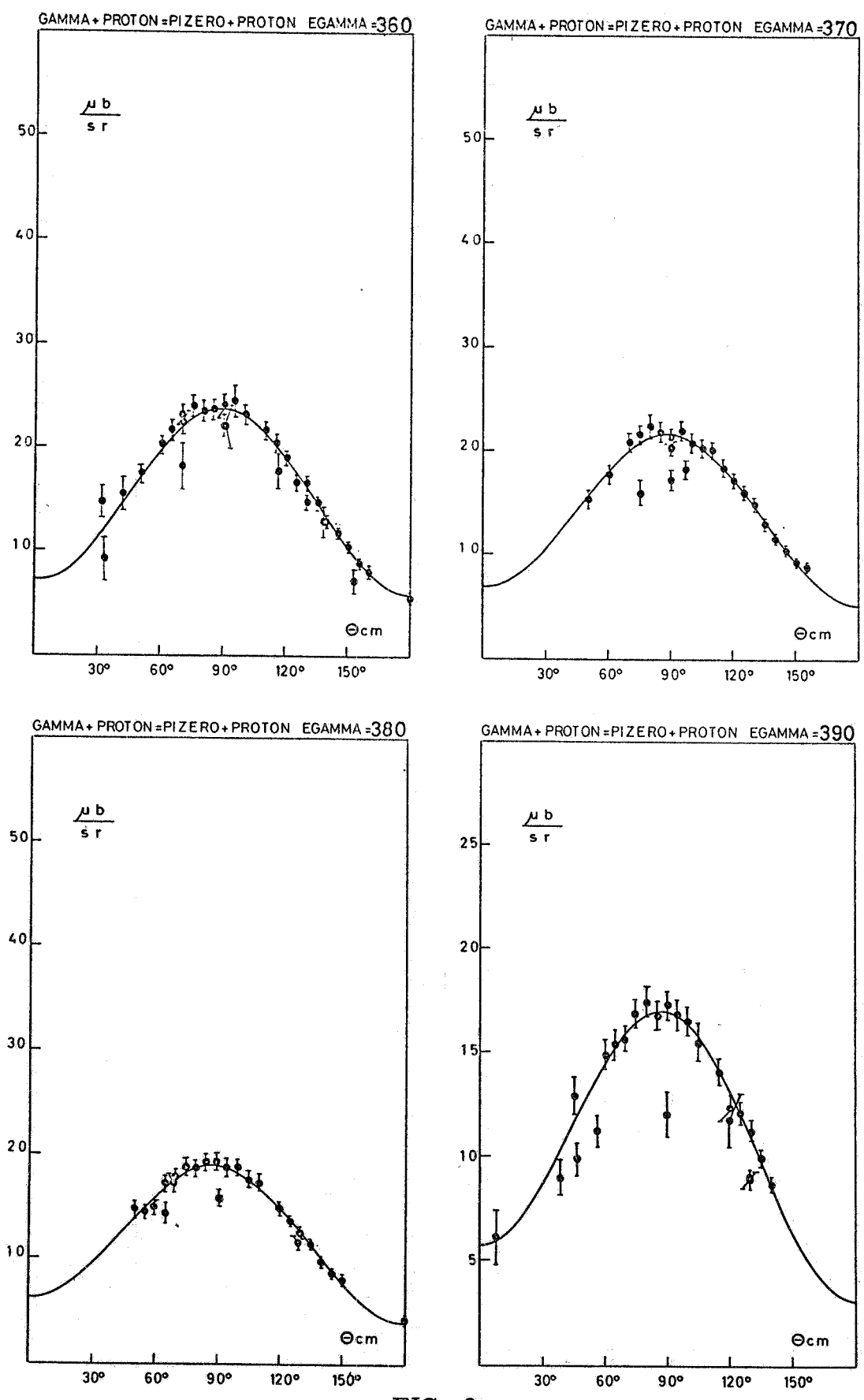


FIG. 3

./.

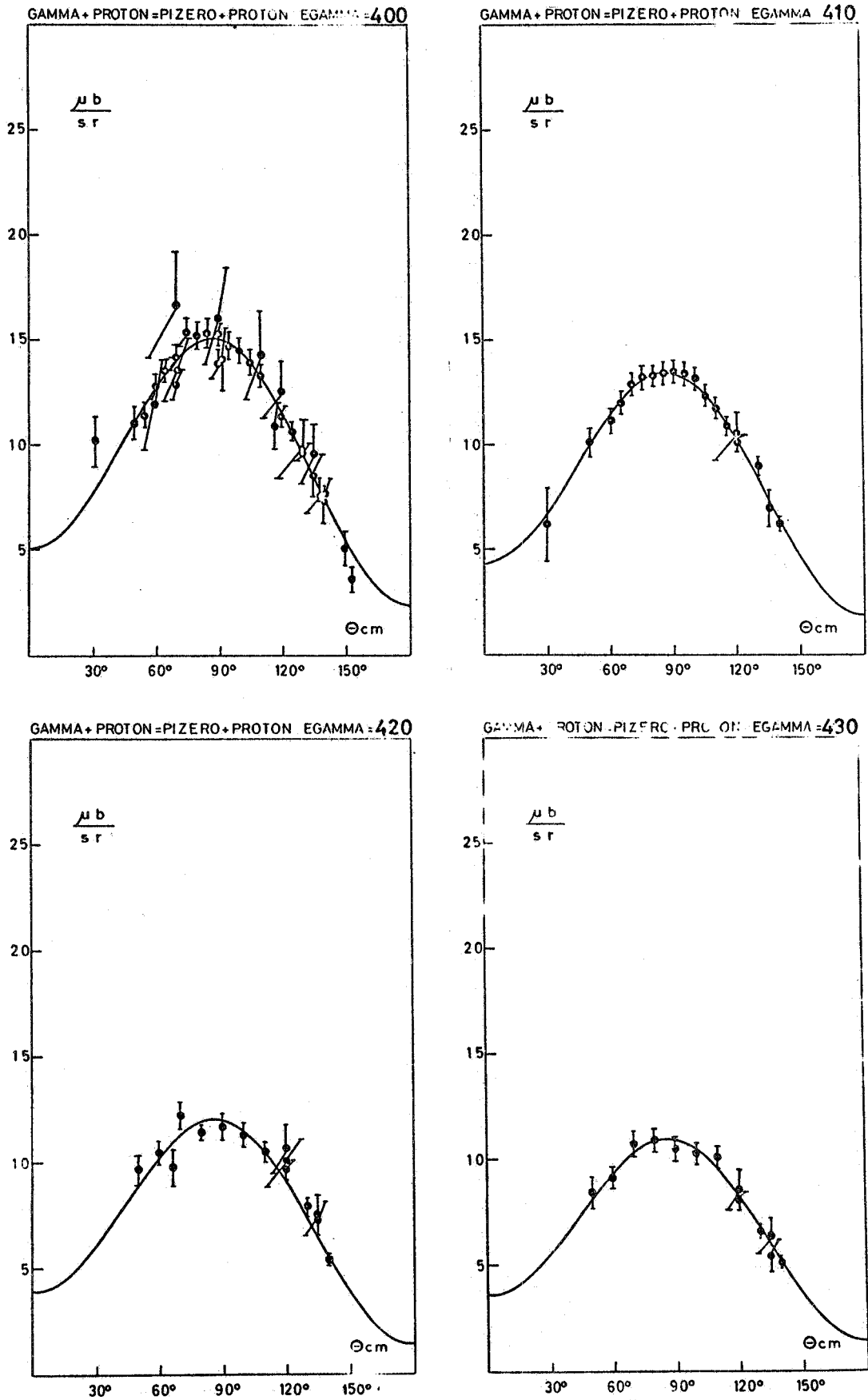


FIG. 3

./.

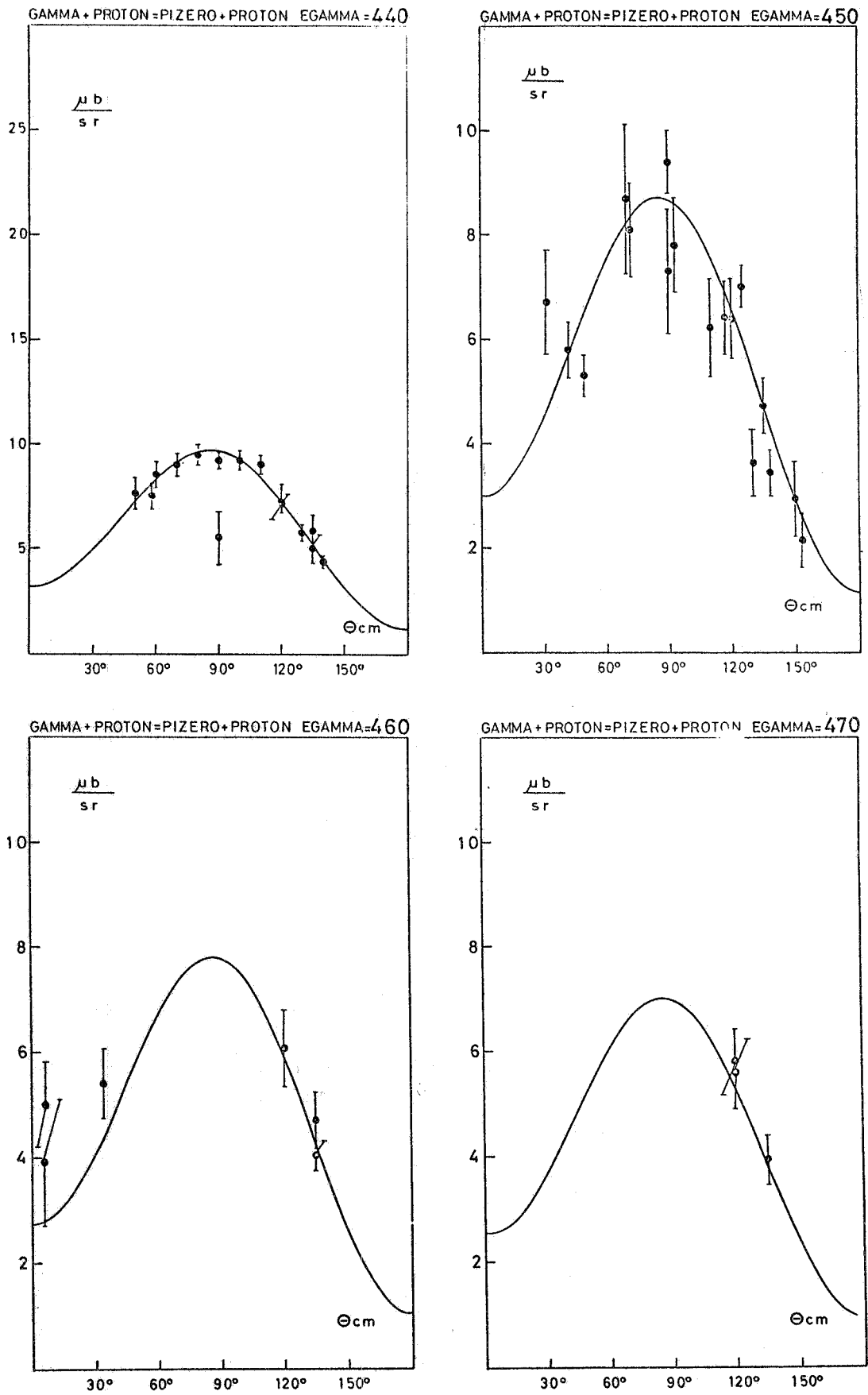


FIG. 3

/.

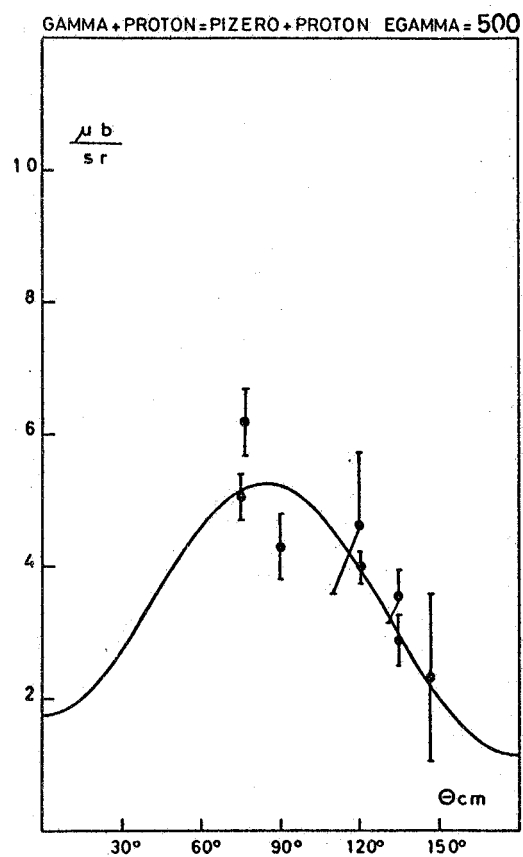
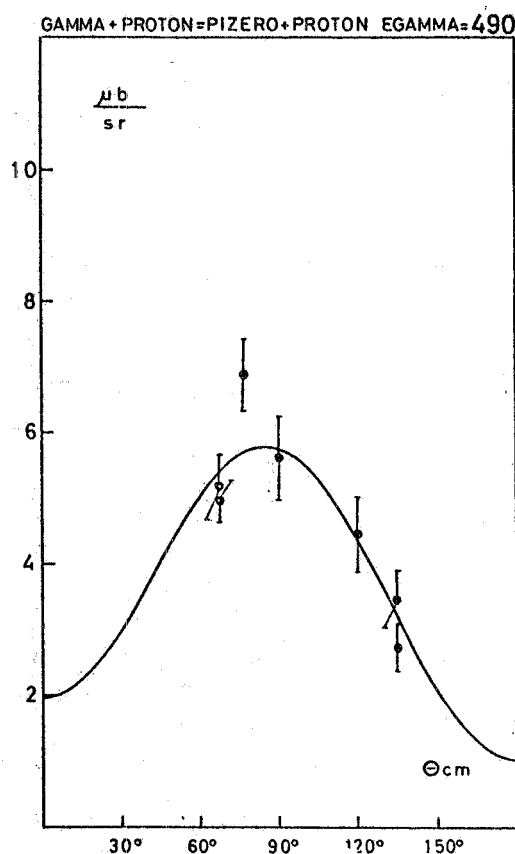
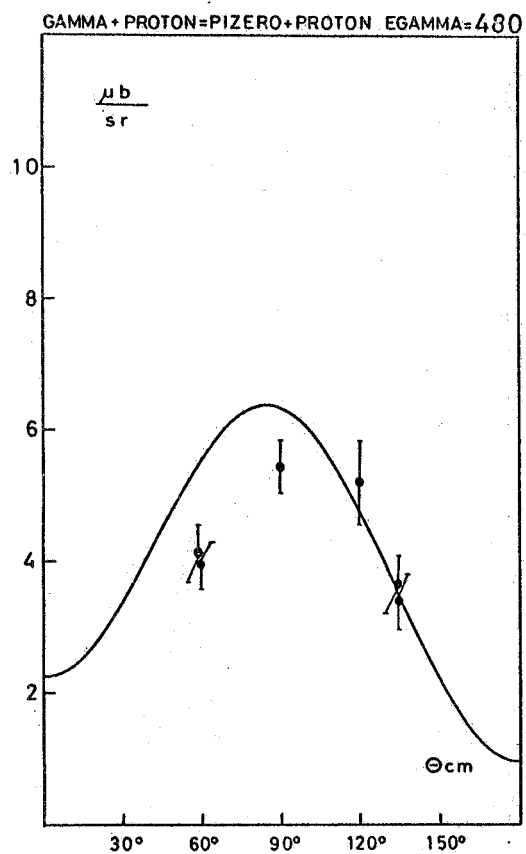


FIG. 3 - Sezioni d'urto differenziali: ad ogni energia sono riportati i risultati del fit ed i punti sperimentali.

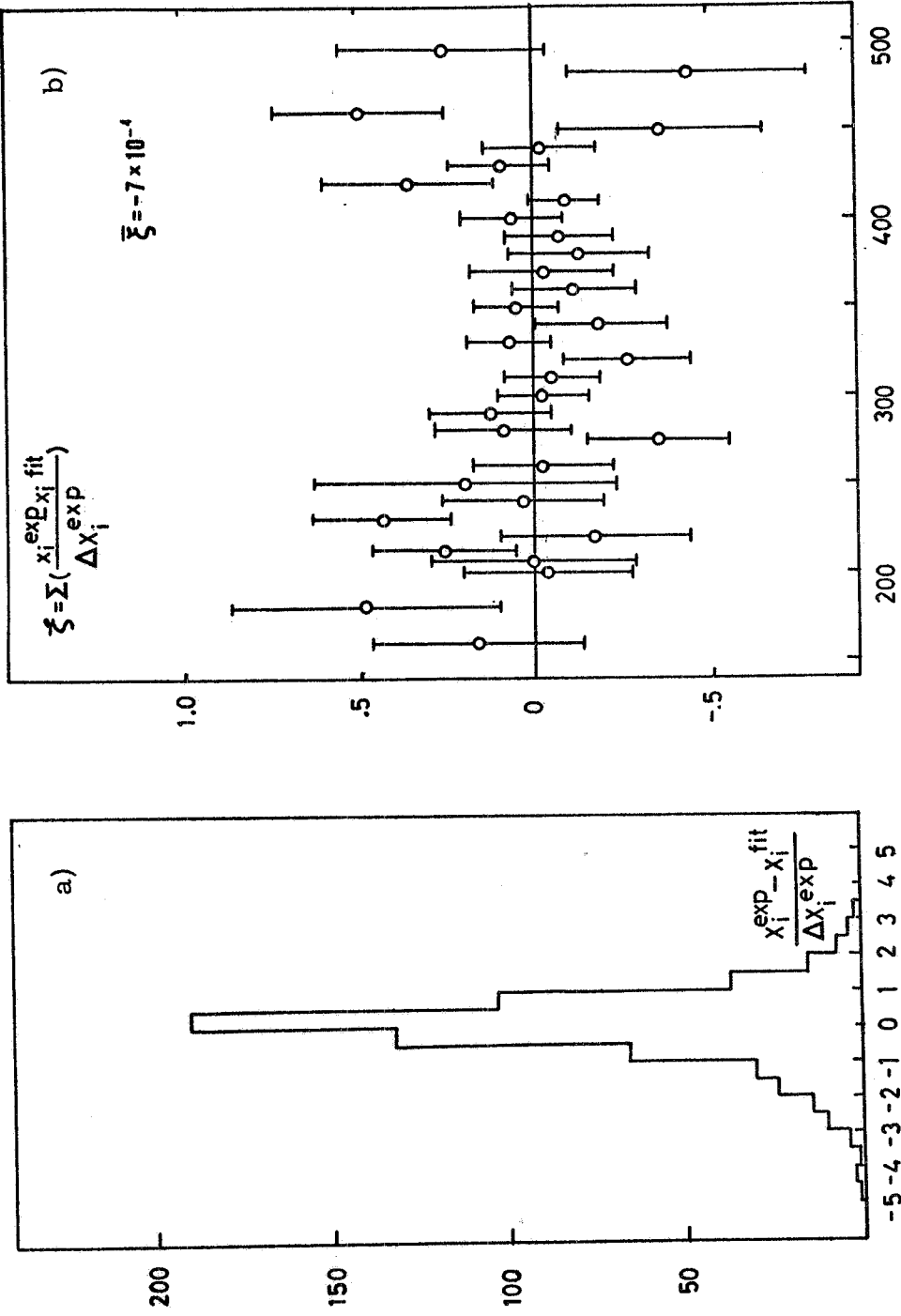


FIG. 4 - a) Distribuzione degli scarti dei punti sperimentali rispetto al fit;  
 b) Andamento dello scarto medio in funzione dell'energia.